

ЧИСЛЕННО-АНАЛИТИЧЕСКИЙ МЕТОД РАСЧЕТА ТЕМПЕРАТУР УПРУГОПЛАСТИЧЕСКИХ ДЕФОРМАЦИЙ И НАПРЯЖЕНИЙ ПРИ РАДИАЦИОННО-КОНВЕКТИВНОМ НАГРЕВЕ МАССИВНЫХ ПЛАСТИН

В работе рассматриваются закономерности появления термических напряжений и деформаций по сечению массивной однородной пластины при организации на ее поверхности высокотемпературного теплового потока излучением и конвекцией.

Рассмотрим квазистатическую, несвязанную задачу термоупругопластичности [1, 2] для конкретных реальных условий нагрева. Такой подход возможен, так как возникающая вследствие этого погрешность итоговых вычислений за счет пренебрежения инерционным эффектом и эффектом связанности полей температур и деформаций для данного класса задач практически мала [3-5].

Задача по определению полей температур, напряжений и деформаций решена последовательно для инерционного ($0 \leq \tau \leq \tau_0$) и регулярного ($\tau_0 \leq \tau < \infty$) этапов нагрева (распространения теплоты).

Используя линейную аппроксимацию теплофизических характеристик для исследуемых марок сталей, имеем исходную температурную задачу [6]:

$$\frac{\partial}{\partial X} (1 + \epsilon_c \theta) \frac{\partial \theta}{\partial Fo} = (1 + \epsilon_\lambda \theta) \frac{\partial \theta}{\partial X} ;$$

$$\theta(X, Fo)|_{Fo=0} = \theta_0 = \text{const}; (1 + \epsilon_\lambda) \frac{\partial \theta}{\partial X} = \bar{q} = \text{Sk}(1 - \theta_n^4) +$$

$$+ \text{Bi}(1 - \theta_n) ,$$

где $X = x/L$; $\theta = T(x, \tau)/T_c$; $\theta_n = (t_n + 273)/(t_c + 273)$; $Fo = a\tau/L^2$ — соответственно безразмерные координата, температура текущая и поверхности, время; $\epsilon_\lambda = \delta_\lambda T_c/\lambda$; $\epsilon_c = \delta_c T_c/c_v$; δ_λ и δ_c — тангенсы угла наклона.

В безразмерных переменных задача имеет вид:
для инерционного этапа

$$Fo_n = (1 - \beta^2) \frac{1 + \epsilon_c \theta_0}{6(1 + \epsilon_\lambda \theta_0)} ; \quad 0 \leq \beta \leq 1;$$

$$\theta_n(X; \tau) = \theta_0 + (\theta_{ни} - \theta_0) \frac{X^2 - \beta^2 + 2\beta^2 \ln(\beta/X)}{1 - \beta^2 + 2\beta^2 \ln \beta} ;$$

$$\theta_{ни} = \theta_0 + \frac{(\text{Sk}(1 - U^4) + \text{Bi}(1 - U))(1 - \beta^2 + 2\beta^2 \ln \beta)}{2(1 + \epsilon_\lambda U)(1 - \beta^2) + \text{Bi}(1 - \beta^2 + 2\beta^2 \ln \beta)} ;$$

для регулярного этапа:

$$\theta_{n,i} = \theta_{n,i-1} + \frac{3(Fo_i - Fo_{i-1})(2 + \epsilon_\lambda \theta_{n,i-1} \bar{q})}{3(1 + \epsilon_c \theta_{n,i-1}) + (4Sk^3 + Bi)(1 + \epsilon_c \theta_{n,i+1})};$$

$$\theta(x, Fo) = \theta_{ni} - \frac{1}{2} \frac{\bar{q}}{1 + \epsilon_\lambda \theta_{n,i-1}} (1 - X^2).$$

Полагаем, что края массивной пластины свободны от нагрузок. Рассмотрение несвязанной термомеханической задачи позволяет учесть зависимость физико-механических свойств материала пластины от температуры [7].

В работе используются справочные сведения о зависимости физико-механических характеристик материала от температуры [8–10]. Однако отмеченные данные, особенно для области высоких температур, близких к температуре плавления, либо даны с большой погрешностью, либо вообще не охватывают необходимую область (интервал) температур. Поэтому полученные в настоящей работе результаты следует рассматривать как оценочные (качественные), цель которых – показать, насколько важно учитывать зависимость физико-механических свойств материала от температуры и какие практические рекомендации из этих расчетов вытекают.

В соответствии с принятыми направлениями координатных осей, используя условие совместности деформаций и условия равновесия (в предположении, что $\sigma_{xx} \approx 0$), получим [7]:

$$\sigma = \sigma_{yy} = \sigma_{zz} = \frac{E}{1 - \nu} (a + bx - \epsilon_p - \alpha T),$$

где σ – напряжение; E – модуль упругости Юнга (первого рода); ν – коэффициент Пуассона; a , b – расширение и кривизна средней поверхности пластины соответственно; ϵ_p – пластическая деформация; α – линейный коэффициент температурного расширения; T – температура пластины ($T = T(x)$). Определяем значения коэффициентов расширения и кривизны:

$$a = \int_{-1}^1 \frac{E \alpha T}{1 - \nu} (A_1 - A_2 x) dx + \int_{-1}^1 \frac{E \epsilon_p}{1 - \nu} (A_1 - A_2 x) dx;$$

$$b = \int_{-1}^1 \frac{E \alpha T}{1 - \nu} (A_3 x - A_2) dx + \int_{-1}^1 \frac{E \epsilon_p}{1 - \nu} (A_3 x - A_2) dx,$$

где

$$A_1 = \frac{1}{\Delta} \int_{-1}^1 \frac{E x^2}{1 - \nu} dx; \quad A_2 = \frac{1}{\Delta} \int_{-1}^1 \frac{E x}{1 - \nu} dx;$$

$$A_3 = \frac{1}{\Delta} \int_{-1}^1 \frac{E}{1 - \nu} dx;$$

Табл. 1. Изменение упругих $\epsilon_{и}$, пластических $\epsilon_{р}$ деформаций и напряжений σ на поверхности и в центре массивной пластины при продолжительном нагреве перед прокаткой

τ, c	Расчетное сечение	$t, ^\circ C$	$\epsilon_{и}$	$\epsilon_{р}$	$\sigma, МПа \cdot 10^{-1}$	Признак нагрузки
360	П	195	-0,00122	-0,00071	-36,08	0
	Ц	20	0,00062	0	18,90	0
2160	П	451	-0,00097	-0,00079	-25,90	0
	Ц	320	0,00075	0	21,40	0
3960	П	659	-0,00054	-0,00315	-12,69	0
	Ц	527	0,00082	0,00013	20,79	0
5760	П	821	0,00030	-0,00266	6,05	2
	Ц	705	-0,00004	0,00030	-0,88	1
7560	П	921	0,00022	-0,00213	3,77	2
	Ц	828	-0,00010	0,00030	-2,05	1
9360	П	999	0,00026	-0,00185	3,92	2
	Ц	924	-0,00018	0,00030	-3,15	1
11160	П	1059	0,00030	-0,00163	3,89	2
	Ц	998	-0,00026	0,00030	-3,80	1
12960	П	1106	0,00033	-0,00146	3,78	2
	Ц	1056	-0,00030	0,00029	-3,90	2
14760	П	1125	0,00034	-0,00128	3,71	2
	Ц	1086	-0,00031	0,00025	-3,84	2
16560	П	1154	0,00035	-0,00116	3,58	2
	Ц	1122	-0,00034	0,00024	-3,72	2
18360	П	1177	0,00037	-0,00107	3,46	2
	Ц	1151	-0,00035	0,00024	-3,60	2
20160	П	1196	0,00038	-0,00101	3,35	2
	Ц	1174	-0,00037	0,00022	-3,48	2

Примечания: П – поверхность; Ц – центральная плоскость; 0 – нагрузка; 1 – разгрузка; 2 – обратное течение.

$$\Delta = \int_{-1}^1 \frac{E dx}{1-\nu} \int_{-1}^1 \frac{E x^2}{1-\nu} dx - \left(\int_{-1}^1 \frac{E x}{1-\nu} dx \right)^2.$$

Полученное интегральное уравнение Фредгольма, аналогичное [7], решалось методом итераций. Предполагалось, что пластина изготовлена из стабильно пластичного материала с линейным анизотропным упрочнением [11]. Алгоритм решения реализован на ЕС ЭВМ, проверен на тестовых примерах, которые показали совпадение с различными случаями одновременной и неодновременной нагрузки и разгрузки, рассчитанных иными методами, например [5, 12]. Для случая неодновременной по толщине пластины разгрузки [12] шаг по времени ΔFo должен быть выбран достаточно малым. Абсолютная погрешность для сравниваемых вариантов не превышает 1,0–1,5%.

В качестве расчетного примера рассмотрим продолжительный нагрев стальной пластины в печи перед прокаткой.

Исходные данные для расчета: толщина $2L = 0,27$ м; марка стали 45, при этом $\delta_\lambda = -0,02042$; $\delta_\epsilon = 2,47$; технологические ограничения – температура поверхности $T_n = (1190 + 273)$ К и $\Delta t = 20-25$ К; режим нагрева трехступенчатый.

Из приведенных расчетных результатов (табл. 1) следует, что необходимого температурного перепада Δt и температур поверхности массивная пластина достигает через 5,5 ч, причем в течение всей продолжительности нагрева регулярного этапа температурный перепад уменьшается. Анализ изменения температурных напряжений показывает, что своего максимального значения (360 МПа) они достигают к моменту окончания инерционного этапа ($Fo = Fo^\circ$). В дальнейшем напряжения постепенно уменьшаются. Из рис. 1 видно, что в начальном периоде упругопластические деформации развиваются от тепловоспринимающей поверхности к центру пластины. Затем на последующих временных интервалах происходит развитие зон от периферии к центру и от центра к периферии. Заметим, что упругая зона по мере проявления пластических деформаций уменьшается. Как следует из табл. 1, несмотря на значительные температуру поверхности и температурные перепады Δt , к моменту окончания всего процесса нагрева упругопластическая зона не охватывает всего поперечного сечения пластины. Отмеченное замечание позволяет предска-

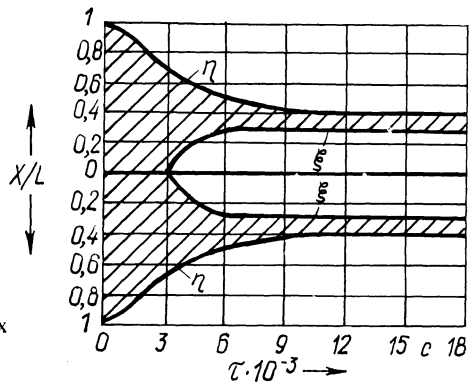


Рис. 1. Распределение упругопластических зон в плоском слитке при продолжительном нагреве

зать порывы плоских слитков и заготовок при прокатке на обжимных и листовых станах. Упругопластическое состояние деформаций материала по всему сечению возможно достигнуть при увеличении процесса выдержки металла в печи.

ЛИТЕРАТУРА

1. Н о в а ц к и й В. Теория упругости. — М.: Мир, 1975. — 872 с.
2. К о в а л е н к о А.Д. Основы термоупругости. — Киев: Наук. думка, 1970. — 308 с.
3. Б о л и Б., У э й н е р Дж. Теория температурных напряжений. — М.: Мир, 1964. — 518 с.
4. Т а к е н т Y. Foundations for coupled thermoelasticity // Journal of thermal stresses. — 1979. — No. 3-4. — P. 323-339.
5. Т а к е н т Y., F u r u k a v a T. Some considerations on thermal shock problems in a plate // Transactions of the ASME // Journal of Applied Mechanics. — 1981. — No. 48. — P. 113-118.
6. Т и м о ш п о л ь с к и й В.И. Инженерный способ расчета массивных тел в условиях лучистого теплообмена // Изв. вузов. Черная металлургия. — 1986. — № 7. — С. 124-127.
7. М е н д е л ь с о н А., С п е р о С. Общее решение упругопластического температурного напряженного состояния пластины из упрочняющего материала с произвольными свойствами // Прикладная механика. — 1962. — № 1. — С. 168-176.
8. Физические свойства сталей и сплавов, применяемых в энергетике / Под ред. Б.Е. Неймарка. — М.; Л.: Энергия, 1967. — 240 с.
9. Расчеты на прочность, устойчивость и колебания в условиях высоких температур / Под ред. Н.И. Безухова. — М.: Машиностроение, 1965. — 567 с.
10. Л и б е р м а н Л.Я., П е й с и х и с М.И. Справочник по свойствам сталей, применяемых в котлотурбостроении / Под ред. А.А. Канаева. — М.; Л.: Машгиз, 1958. — 408 с.
11. Термопрочность деталей машин / Под ред. И.А. Биргера. — М.: Машиностроение, 1975. — 455 с.
12. П а р к е с Е. Напряжение в упругопластическом стержне при внезапном изменении температуры его поверхности // Прикладная математика (русский перевод). — 1961. — № 3. — С. 134-139.

УДК 621.923

А.В. КОЧЕТКОВ, В.И. БУХШТЕЙН,
И.А. ДАВЫДОВ, И.А. ТРУСОВА

ОБ ОДНОМ МЕТОДЕ ОПРЕДЕЛЕНИЯ ТЕМПЕРАТУРНОГО ПОЛЯ В РЕЖУЩЕЙ ПЛАСТИНЕ

Одной из важных задач теплофизики резания является определение температурного поля в режущем инструменте, так как с этим полем связаны его температурные деформации и термические напряжения, что в конечном счете влияет на точность обработки и работоспособность инструмента. Особенно актуальным является решение этих задач при обработке резанием пластинами из сверхтвердых материалов (СТМ), когда в условиях снятия тонких стружек тешловые явления становятся первостепенными и в основном определяют механизм и интенсивность протекания процессов в зоне резания.

В данное время применяются два принципиально разных вида режущих пластин из СТМ — цельные и двухслойные. Причем результаты исследований режущих свойств этих пластин отличаются друг от друга [1-4]. Многие исследователи обосновывают свои выводы экспериментальными данными, а теоретические данные отсутствуют.